



# Algoritmo de Grover

## Introducción e implementación en Qiskit

**Federico Fudio**

Facultad de Ingeniería  
Universidad de Montevideo  
Montevideo

Qiskit Fall Fest FIUBA - 10/11/2025

# Índice

## 1. Marco Teórico

1.1. Introducción

## 2. Algoritmo

2.1. Motivación

2.2. Descripción

## 3. Visualización

3.1. Matrices de rotación y reflexión

3.2. Acción del operador de Grover en el plano

## 4. Comentarios finales

# Introducción

## Descripción del problema

- Dada una función binaria  $f : \{0, 1\}^n \rightarrow \{0, 1\}$ , queremos encontrar un elemento  $x$  tal que  $f(x) = 1$ .
- Definimos  $M$  como la cantidad de entradas tales que  $f(x) = 1$  (suponemos, por el momento, que  $M$  es conocido).
- Para el caso  $M = 1$ , clásicamente se necesitan  $\mathcal{O}(N) = \mathcal{O}(2^n)$  evaluaciones de la función  $f$  para encontrar **el** elemento con  $f(x) = 1$ .
- En general, la cantidad esperada de evaluaciones necesarias es  $\mathcal{O}(N/M)$ .

# Introducción

## Descripción del problema

- Pensamos a las entradas con  $f(x) = 1$  como una "entrada marcada" o un "elemento marcado".
- Ejemplo de función  $f(x_1, x_2) = x_1 \bar{x}_2$  de dos bits que marca a 10.

$x$	$f(x)$
00	0
01	0
10	1
11	0

# Introducción

## Problema cuántico

- **Cómo implementamos  $f$  en una computadora cuántica, teniendo en cuenta que debemos usar operaciones reversibles?**
- Una forma natural de implementar una función  $f$  de  $n$  bits es usar  $n + 1$  qubits.
  - Los primeros  $n$  qubits se usan para representar la entrada  $x = x_1 x_2 \dots x_n$  de la función.
  - El último qubit se usa para la salida de la función. Si  $f(x) = 0$ , el qubit queda sin cambiar; y si  $f(x) = 1$ , aplicamos un NOT.

$$O |x_1 x_2 \dots x_N\rangle |y\rangle = |x_1 x_2 \dots x_N\rangle |y \oplus f(x)\rangle$$

- El operador  $O$  es unitario por mapear una base ortonormal a otra base ortonormal.

# Introducción

## Problema cuántico

$x$	$f(x)$
00	0
01	0
10	1
11	0

$ x\rangle  0\rangle$	$O x\rangle  0\rangle$	$ x\rangle  1\rangle$	$O x\rangle  1\rangle$
$ 00\rangle  0\rangle$	$ 00\rangle  0\rangle$	$ 00\rangle  1\rangle$	$ 00\rangle  1\rangle$
$ 01\rangle  0\rangle$	$ 01\rangle  0\rangle$	$ 01\rangle  1\rangle$	$ 01\rangle  1\rangle$
$ 10\rangle  0\rangle$	$ 10\rangle  1\rangle$	$ 10\rangle  1\rangle$	$ 10\rangle  0\rangle$
$ 11\rangle  0\rangle$	$ 11\rangle  0\rangle$	$ 11\rangle  1\rangle$	$ 11\rangle  1\rangle$

# Introducción

## Problema cuántico

Estudiamos qué pasa si aplicamos el operador  $O$  al estado  $|x_1 x_2 \dots x_n\rangle |-\rangle$ :

$$O|x_1 x_2 \dots x_n\rangle |-\rangle = O|x_1 x_2 \dots x_n\rangle \left( \frac{|0\rangle - |1\rangle}{\sqrt{2}} \right) \quad (1)$$

$$= |x_1 x_2 \dots x_n\rangle \underbrace{\left( \frac{|f(x)\rangle - |\overline{f(x)}\rangle}{\sqrt{2}} \right)}_{(-1)^{f(x)}|-\rangle} \quad (2)$$

$$= (-1)^{f(x)} |x_1 x_2 \dots x_n\rangle |-\rangle \quad (3)$$

Descartando el último qubit, que se mantiene en el estado  $|-\rangle$ , el efecto de  $O$  es **cambiar el signo de los elementos marcados**.

# Introducción

## Problema cuántico

### Planteo cuántico

- Tenemos un **oráculo**  $O_f$  tal que, en la base computacional, actúa cambiando el signo de los elementos marcados por  $f$ :

$$O_f |x\rangle = (-1)^{f(x)} |x\rangle = \begin{cases} |x\rangle & \text{si } f(x) = 0 \\ -|x\rangle & \text{si } f(x) = 1 \end{cases}$$

- El oráculo  $O_f$  se puede implementar de forma directa o aplicando la operación  $O$  al estado  $|x\rangle |-$ .
- Veamos cómo podemos encontrar el elemento marcado usando el oráculo  $O_f$  con  $\mathcal{O}(\sqrt{N/M})$  aplicaciones del oráculo.

# Algoritmo

## Motivación

Estudiemos qué pasa si aplicamos la operación  $O_f$  a una superposición uniforme de todos los estados de la base computacional, es decir, al estado  $H|0\rangle = |+\rangle^{\otimes n}$ :

$$O_f |+\rangle^{\otimes n} = O_f \left[ \frac{1}{\sqrt{N}} \sum_{i \in \{0,1\}^n} |i\rangle \right] \quad (4)$$

$$= \frac{1}{\sqrt{N}} \sum_{i \in \{0,1\}^n} (-1)^{f(i)} |i\rangle \quad (5)$$

# Algoritmo

## Motivación

Aplicamos un operador de difusión  $A = H(2|0\rangle\langle 0| - \mathbb{I})H = 2|+\rangle^{\otimes n}\langle +|^{\otimes n} - \mathbb{I}$ , que tiene el efecto de invertir cada amplitud  $\alpha_i$  sobre la media,  $\bar{\alpha}$ :

# Algoritmo

## Motivación

Aplicamos un operador de difusión  $A = H(2|0\rangle\langle 0| - \mathbb{I})H = 2|+\rangle^{\otimes n}\langle +|^{\otimes n} - \mathbb{I}$ , que tiene el efecto de invertir cada amplitud  $\alpha_i$  sobre la media,  $\bar{\alpha}$ :

$$A|\psi\rangle = (2|+\rangle^{\otimes n}\langle +|^{\otimes n} - \mathbb{I}) \sum_{i \in \{0,1\}^n} \alpha_i |i\rangle \quad (6)$$

# Algoritmo

## Motivación

Aplicamos un operador de difusión  $A = H(2|0\rangle\langle 0| - \mathbb{I})H = 2|+\rangle^{\otimes n}\langle +|^{\otimes n} - \mathbb{I}$ , que tiene el efecto de invertir cada amplitud  $\alpha_i$  sobre la media,  $\bar{\alpha}$ :

$$A|\psi\rangle = \left( \sum_{i \in \{0,1\}^n} \alpha_i \overbrace{(\langle +|^{\otimes n}|i\rangle)}^{\frac{1}{\sqrt{N}}} 2 \overbrace{|+\rangle^{\otimes n}}^{\frac{1}{\sqrt{N}} \sum_j |j\rangle} \right) - \left( \sum_{i \in \{0,1\}^n} \alpha_i |i\rangle \right) \quad (6)$$

# Algoritmo

## Motivación

Aplicamos un operador de difusión  $A = H(2|0\rangle\langle 0| - \mathbb{I})H = 2|+\rangle^{\otimes n}\langle +|^{\otimes n} - \mathbb{I}$ , que tiene el efecto de invertir cada amplitud  $\alpha_i$  sobre la media,  $\bar{\alpha}$ :

$$A|\psi\rangle = \left( \sum_{i \in \{0,1\}^n} \alpha_i \frac{1}{\sqrt{N}} 2 \frac{1}{\sqrt{N}} \sum_{j \in \{0,1\}^n} |j\rangle \right) - \left( \sum_{i \in \{0,1\}^n} \alpha_i |i\rangle \right) \quad (6)$$

$$= \left( \sum_{j \in \{0,1\}^n} 2 \left[ \sum_{i \in \{0,1\}^n} \frac{1}{N} \alpha_i \right] |j\rangle \right) - \left( \sum_{j \in \{0,1\}^n} \alpha_j |j\rangle \right) \quad (7)$$

$$= \sum_{j \in \{0,1\}^n} (2\bar{\alpha} - \alpha_j) |j\rangle \quad (8)$$

# Algoritmo

## Motivación

Si aplicamos el operador  $AO_f$  al estado  $|+\rangle^{\otimes n}$ , tiene el efecto de cambiar las amplitudes  $1/\sqrt{N}$  de  $|+\rangle^{\otimes n}$  como:

$$\frac{1}{\sqrt{N}} \rightarrow \left[ 2 \frac{1}{N} \quad \overbrace{\frac{1}{\sqrt{N}}(N - 2M)}^{\text{Suma de amplitudes de } O_f|+\rangle^{\otimes n}} \quad - \quad \overbrace{\frac{1}{\sqrt{N}}(-1)^{f(i)}}^{\text{Amplitud de } |i\rangle \text{ en } O_f|+\rangle^{\otimes n}} \right] \quad (9)$$

# Algoritmo

## Motivación

Si aplicamos el operador  $AO_f$  al estado  $|+\rangle^{\otimes n}$ , tiene el efecto de cambiar las amplitudes  $1/\sqrt{N}$  de  $|+\rangle^{\otimes n}$  como:

$$\frac{1}{\sqrt{N}} \rightarrow \frac{1}{\sqrt{N}} \left[ 2 - \frac{4M}{N} - (-1)^{f(i)} \right] = \frac{1}{\sqrt{N}} \begin{cases} 3 - \frac{4M}{N} & \text{Si } f(i) = 1 \\ 1 - \frac{4M}{N} & \text{Si } f(i) = 0 \end{cases} \quad (9)$$

Notemos que, si  $3 - 4M/N > 1 \Rightarrow M < N/2$  la amplitud de los estados marcados va a aumentar.

- **Aumenta la probabilidad de medir un elemento marcado**

# Algoritmo

## Motivación

**Ejemplo: función  $f(x) = x_1 \overline{x_2}$  ( $n = 2, N = 4, M = 1$ )**

- Comenzamos con una superposición uniforme de los cuatro estados de la base computacional:

$$|+\rangle^{\otimes n} = \frac{1}{2} \left( |00\rangle + |01\rangle + \underbrace{|10\rangle}_{\text{Estado marcado}} + |11\rangle \right)$$

- Despues de implementar la operación  $AO_f$ , las amplitudes pasan a ser:

$$\frac{1}{\sqrt{N}} \rightarrow \frac{1}{\sqrt{N}} \begin{cases} 3 - \frac{4M}{N} & \text{Si } f(i) = 1 \\ 1 - \frac{4M}{N} & \text{Si } f(i) = 0 \end{cases} \Rightarrow AO_f |+\rangle^{\otimes n} = |10\rangle$$

# Algoritmo

## Descripción

- Qué pasa si seguimos aplicando  $AO_f$ ?
- Se puede seguir aumentando la amplitud de los estados marcados?

Definimos los estados  $|\alpha\rangle$  (combinación uniforme de estados **NO** marcados) y  $|\beta\rangle$  (combinación uniforme de estados marcados).

$$|\alpha\rangle = \frac{1}{\sqrt{N-M}} \sum_{i \in f^{-1}(0)} |i\rangle$$

$$|\beta\rangle = \frac{1}{\sqrt{M}} \sum_{i \in f^{-1}(1)} |i\rangle$$

# Algoritmo

## Descripción

Una propiedad interesante es que en todo el proceso nos mantenemos en el plano generado por los vectores  $|\alpha\rangle$  y  $|\beta\rangle$ , por ejemplo:

$$|+\rangle^{\otimes n} = \frac{\sqrt{N-M}}{\sqrt{N}} |\alpha\rangle + \frac{\sqrt{M}}{\sqrt{N}} |\beta\rangle$$

$$O_f |+\rangle^{\otimes n} = \frac{\sqrt{N-M}}{\sqrt{N}} |\alpha\rangle - \frac{\sqrt{M}}{\sqrt{N}} |\beta\rangle$$

$$AO_f |+\rangle^{\otimes n} = \frac{\sqrt{N-M}}{\sqrt{N}} \left(1 - \frac{4M}{N}\right) |\alpha\rangle + \frac{\sqrt{M}}{\sqrt{N}} \left(3 - \frac{4M}{N}\right) |\beta\rangle$$

# Algoritmo

## Descripción

Veamos el efecto de  $AO_f$  en el subespacio generado por  $|\alpha\rangle$  y  $|\beta\rangle$ .

$$O_f(x|\alpha\rangle + y|\beta\rangle) = x|\alpha\rangle - y|\beta\rangle$$

$$A|\alpha\rangle = \left( \frac{2}{N} \frac{N-M}{\sqrt{N-M}} - \frac{1}{\sqrt{N-M}} \right) \sqrt{N-M} |\alpha\rangle + \frac{2}{N} \frac{N-M}{\sqrt{N-M}} \sqrt{M} |\beta\rangle$$

$$A|\beta\rangle = \frac{2}{N} \frac{M}{\sqrt{M}} \sqrt{N-M} |\alpha\rangle + \left( \frac{2}{N} \frac{M}{\sqrt{M}} - \frac{1}{\sqrt{M}} \right) \sqrt{M} |\beta\rangle$$

# Algoritmo

## Descripción

Por tanto,  $AO_f$  se puede escribir matricialmente en la base  $\mathcal{B} = \{|\alpha\rangle, |\beta\rangle\}$  como:

$${}_{\mathcal{B}}[AO_f]_{\mathcal{B}} = \begin{bmatrix} -\frac{2}{N}M + 1 & -\frac{2}{N}\sqrt{M}\sqrt{N-M} \\ \frac{2}{N}\sqrt{M}\sqrt{N-M} & -\frac{2}{N}M + 1 \end{bmatrix}$$

Notemos que  ${}_{\mathcal{B}}[AO_f]_{\mathcal{B}}$  es unitaria. No solo eso, sino que tiene la forma de una matriz de rotación:

$${}_{\mathcal{B}}[AO_f]_{\mathcal{B}} = \begin{bmatrix} \cos(\theta) & -\sin(\theta) \\ \sin(\theta) & \cos(\theta) \end{bmatrix}$$

Con  $\theta = 2 \arcsin\left(\sqrt{M}/\sqrt{N}\right) = 2 \arccos\left(\sqrt{N-M}/\sqrt{N}\right)$ .

# Algoritmo

## Descripción

Podemos, por tanto, encontrar la descomposición espectral de  ${}_{\mathcal{B}}[AO_f]_{\mathcal{B}}$ :

$${}_{\mathcal{B}}[AO_f]_{\mathcal{B}} = \begin{bmatrix} i/\sqrt{2} & -i/\sqrt{2} \\ 1/\sqrt{2} & 1/\sqrt{2} \end{bmatrix} \begin{bmatrix} e^{i\theta} & 0 \\ 0 & e^{-i\theta} \end{bmatrix} \begin{bmatrix} -i/\sqrt{2} & 1/\sqrt{2} \\ i/\sqrt{2} & 1/\sqrt{2} \end{bmatrix}$$

$${}_{\mathcal{B}}[AO_f]_{\mathcal{B}}^r = \begin{bmatrix} i/\sqrt{2} & -i/\sqrt{2} \\ 1/\sqrt{2} & 1/\sqrt{2} \end{bmatrix} \begin{bmatrix} e^{ir\theta} & 0 \\ 0 & e^{-ir\theta} \end{bmatrix} \begin{bmatrix} -i/\sqrt{2} & 1/\sqrt{2} \\ i/\sqrt{2} & 1/\sqrt{2} \end{bmatrix}$$

# Algoritmo

## Descripción

La componente de  $|\beta\rangle$  después de aplicar  $r$  veces la operación  ${}_{\mathcal{B}}[AO_f]_{\mathcal{B}}$  es:

$$\begin{bmatrix} 0 \\ 1 \end{bmatrix}^\dagger {}_{\mathcal{B}}[AO_f]_{\mathcal{B}}^r \begin{bmatrix} \sqrt{N-M}/\sqrt{N} \\ \sqrt{M}/\sqrt{N} \end{bmatrix} = \cos(r\theta) \frac{\sqrt{M}}{\sqrt{N}} + \sin(r\theta) \frac{\sqrt{N-M}}{\sqrt{N}} \quad (10)$$

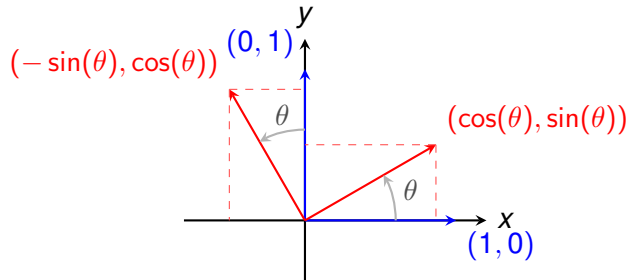
$$= \cos(r\theta) \sin(\theta/2) + \sin(r\theta) \cos(\theta/2) \quad (11)$$

$$= \sin\left(r\theta + \frac{\theta}{2}\right) \quad (12)$$

Para maximizar la componente en  $|\beta\rangle$  queremos que  $r\theta + \theta/2 \approx \pi/2$

# Visualización

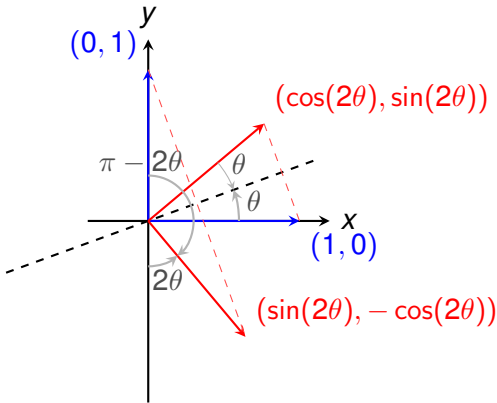
## Matrices de rotación y reflexión



$$R_{\text{rot}}(\theta) = \begin{bmatrix} \cos(\theta) & -\sin(\theta) \\ \sin(\theta) & \cos(\theta) \end{bmatrix}$$

# Visualización

## Matrices de rotación y reflexión



$$R_{\text{ref}}(\theta) = \begin{bmatrix} \cos(2\theta) & \sin(2\theta) \\ \sin(2\theta) & -\cos(2\theta) \end{bmatrix}$$

También podemos escribir:

$$R_{\text{ref}}(\theta) = 2\mathbf{v}\mathbf{v}^\dagger - \mathbb{I},$$

con:

$$\mathbf{v} = \begin{bmatrix} \cos(\theta) \\ \sin(\theta) \end{bmatrix}$$

# Visualización

## Matrices de rotación y reflexión

Notemos que una reflexión sobre el eje  $x$  (es decir, una reflexión con ángulo  $\theta = 0$ ) seguida por una reflexión de un ángulo  $\theta$  corresponde a una rotación de  $2\theta$ :

$$R_{\text{ref}}(\theta)R_{\text{ref}}(0) = \begin{bmatrix} \cos(2\theta) & \sin(2\theta) \\ \sin(2\theta) & -\cos(2\theta) \end{bmatrix} \begin{bmatrix} 1 & 0 \\ 0 & -1 \end{bmatrix} \quad (13)$$

$$= \begin{bmatrix} \cos(2\theta) & -\sin(2\theta) \\ \sin(2\theta) & \cos(2\theta) \end{bmatrix} \quad (14)$$

$$= R_{\text{rot}}(2\theta) \quad (15)$$

# Visualización

## Acción del operador de Grover en el plano

En el plano definido por  $|\alpha\rangle$  y  $|\beta\rangle$ , el operador  $O_f$  actúa como una reflexión sobre el eje  $x$  (la componente de  $|\alpha\rangle$ ), mientras que el operador  $A$  se puede escribir como:

$$A = 2|+\rangle^{\otimes n}\langle+|^{\otimes n} - \mathbb{I} \quad (16)$$

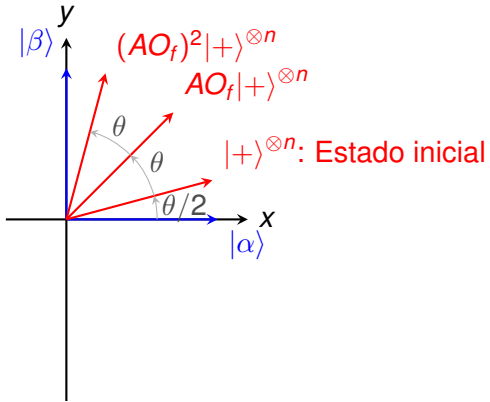
$$= 2\left(\frac{\sqrt{N-M}}{\sqrt{N}}|\alpha\rangle + \frac{\sqrt{M}}{\sqrt{N}}|\beta\rangle\right)\left(\frac{\sqrt{N-M}}{\sqrt{N}}\langle\alpha| + \frac{\sqrt{M}}{\sqrt{N}}\langle\beta|\right) - \mathbb{I} \quad (17)$$

El ángulo  $\theta/2$  entre  $|\alpha\rangle$  y  $|+\rangle^{\otimes n}$  en el plano es:

$$\frac{\theta}{2} = \arcsin\left(\frac{\sqrt{M}}{\sqrt{N}}\right)$$

# Visualización

## Acción del operador de Grover en el plano



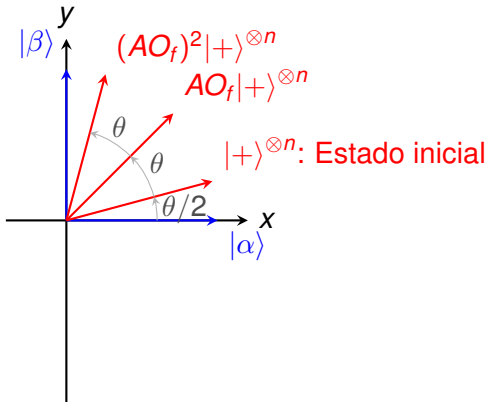
Después de  $r$  iteraciones, el ángulo de  $(AO_f)^r |+\rangle^{\otimes n}$  en el plano es de  $r\theta + \theta/2$ . Queremos elegir  $r$  para que:

$$r\theta + \frac{\theta}{2} \approx \frac{\pi}{2}$$

$$\Rightarrow r\theta \approx \frac{\pi}{2} - \frac{\theta}{2}$$

# Visualización

## Acción del operador de Grover en el plano



$$r\theta \approx \pi/2 - \theta/2 = \arccos(\sqrt{M}/\sqrt{N})$$

$$\Rightarrow r_{\text{ideal}} = \frac{\arccos(\sqrt{M}/\sqrt{N})}{\theta}$$

En general,  $r_{\text{ideal}}$  no es un entero, por lo que debemos aplicar  $R$  iteraciones, siendo  $R := [r_{\text{ideal}}]$  el entero más cercano a  $r_{\text{ideal}}$ .

# Visualización

## Visualización geométrica

Buscamos ahora una cota superior para  $R$ . Recordemos que:

$$R = \lceil r_{\text{ideal}} \rceil \leq \lceil r_{\text{ideal}} \rceil = \left\lceil \frac{\pi - \theta}{2\theta} \right\rceil = \left\lceil \frac{\pi}{2\theta} - \frac{1}{2} \right\rceil \leq \left\lceil \frac{\pi}{2\theta} \right\rceil.$$

Como la función  $\lceil x \rceil$  es monótona creciente, basta con acotar  $\theta$  para obtener una cota sobre  $R$ . Sabemos que:

$$\frac{\theta}{2} \geq \sin\left(\frac{\theta}{2}\right) = \frac{\sqrt{M}}{\sqrt{N}}.$$

Por tanto:

$$R \leq \left\lceil \frac{\pi}{4} \sqrt{\frac{N}{M}} \right\rceil \Rightarrow R = \mathcal{O}\left(\sqrt{\frac{N}{M}}\right).$$

# Comentarios finales

## Probabilidad de éxito

En la cantidad óptima de iteraciones, el ángulo  $\gamma$  entre el eje  $y$  y  $(AO_f)^r |+\rangle^{\otimes n}$  es a lo sumo  $\theta/2$ :

$$|r_{\text{ideal}} - R| \leq 0.5 \Rightarrow \left| \frac{\pi/2 - \theta/2}{\theta} - R \right| \leq 0.5 \Rightarrow \left| \overbrace{\pi/2 - (\theta/2 + R\theta)}^{\gamma} \right| \leq 0.5\theta$$

Por tanto, la probabilidad de éxito  $P_E$  es:

$$P_E = \sin^2(R\theta + \theta/2) = \cos^2(|\gamma|) \geq \cos^2(\theta/2) = \sqrt{\frac{N-M}{N}}^2 = \frac{N-M}{N}$$

La probabilidad de éxito es mayor o igual a  $1/2$  siempre que  $M \leq N/2$ .

## Comentarios finales

Qué pasa si  $M > N/2$ ?

Si sabemos de antemano que  $M > N/2$ , basta preparar el estado  $|+\rangle^{\otimes n}$  y medir. La probabilidad de éxito inicial ya es  $P_E = M/N \geq 1/2$ , por lo que no es necesario aplicar el operador  $AO_f$ .

Qué pasa si no conocemos el valor de  $M$ ?

- Podemos usar **Quantum Counting**, que permite estimar el valor de  $M$  (y por tanto el número de iteraciones óptimo  $R$ ) mediante *Quantum Phase Estimation*.
- También podemos repetir el algoritmo tomando la cantidad de iteraciones óptima para  $M_t = N/2^t$  entradas marcadas, con  $t = 0, 1, \dots$



# Gracias!

**Federico Fudio**

Facultad de Ingeniería  
Universidad de Montevideo  
Montevideo

Qiskit Fall Fest FIUBA - 10/11/2025